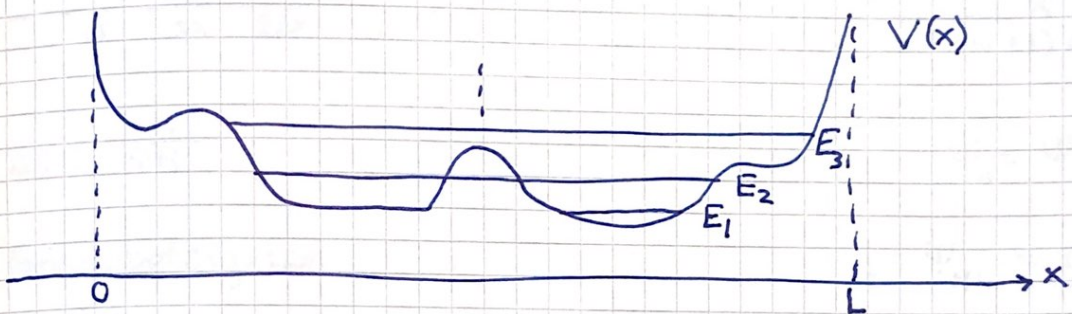


Numerisk Løsning av TUSL

Når $V(x)$ er slik at TUSL ikke er analytisk løsbar (eller vi ikke finner ut hvordan vi skal løse problemet analytisk, eller det er lite hensiktsmessig med en analytisk løsning), da må vi bruke en numersk løsningsmetode. Vi beskriver her en slik metode.

Anta et "vilkårlig" potensial $V(x)$:



Har bundne tilstander og diskrete energienivåer E_1, E_2, E_3, \dots så lenge $E_j < V(x \rightarrow \pm\infty)$.

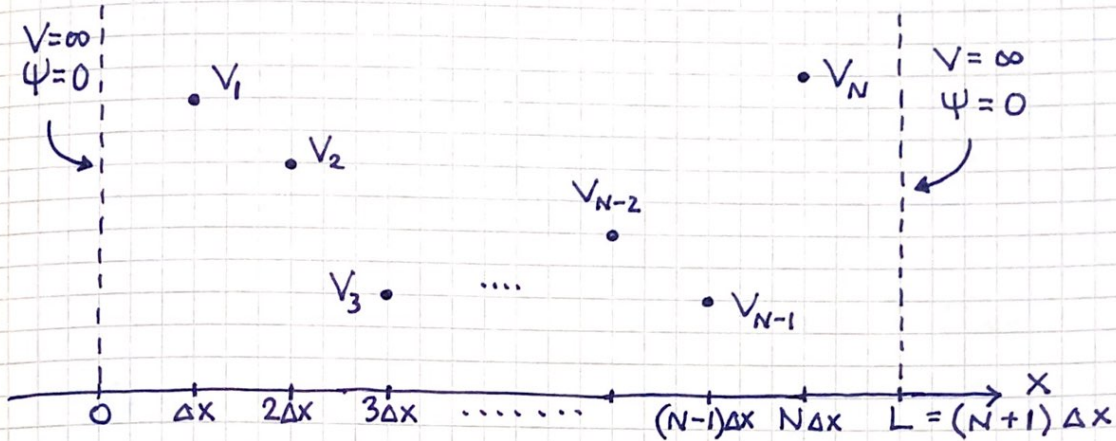
For tilstander med $E_j \ll V(0)$ og $V(L)$ er $\Psi_j(x) \approx 0$ utenfor intervallet $(0, L)$.

Disse tilstandene og energiene blir omtrent upåvirket om vi setter

$$V = \infty \quad \text{for} \quad x \leq 0 \quad \text{og} \quad x \geq L$$

Vårt potensial $V(x)$ blir med dette en eller annen funksjon inni en "boks" med harde vegger i $x=0$ og i $x=L$.

Vi diskretiserer x-aksen, og dermed funksjoner av x :



$$\Delta x = \frac{L}{N+1} ; \quad x_n = n \cdot \Delta x ; \quad V_n = V(x_n) ; \quad \Psi_n = \Psi(x_n)$$

$$\text{Grensebetingelser: } V_0 = V_{N+1} = \infty ; \quad \Psi_0 = \Psi_{N+1} = 0$$

Diskretisering av $\partial^2 \Psi / \partial x^2$:

$$\Psi''_n = \Psi''(x_n) \approx \frac{\Psi'(x_n + \frac{1}{2}\Delta x) - \Psi'(x_n - \frac{1}{2}\Delta x)}{\Delta x}$$

$$\Psi'(x_n + \frac{1}{2}\Delta x) \approx \frac{\Psi(x_n + \Delta x) - \Psi(x_n)}{\Delta x} = \frac{\Psi_{n+1} - \Psi_n}{\Delta x}$$

$$\Psi'(x_n - \frac{1}{2}\Delta x) \approx \frac{\Psi(x_n) - \Psi(x_n - \Delta x)}{\Delta x} = \frac{\Psi_n - \Psi_{n-1}}{\Delta x}$$

$$\text{Dvs: } \Psi''_n \approx \frac{\Psi_{n+1} - 2\Psi_n + \Psi_{n-1}}{(\Delta x)^2}$$

TUSL blir nå N differanseligninger:

$$-\frac{\hbar^2}{2m(\Delta x)^2} \{ \Psi_{n+1} - 2\Psi_n + \Psi_{n-1} \} + V_n \Psi_n = E \Psi_n$$

$$n = 1, 2, \dots, N$$

(34)

På matriseform; med $\varepsilon = \hbar^2/m(\Delta x)^2$:

$$\begin{bmatrix} \varepsilon + V_1 & -\frac{\varepsilon}{2} & 0 & 0 & \dots & 0 \\ -\frac{\varepsilon}{2} & \varepsilon + V_2 & -\frac{\varepsilon}{2} & 0 & & \vdots \\ 0 & -\frac{\varepsilon}{2} & \varepsilon + V_3 & -\frac{\varepsilon}{2} & & \Psi_1 \\ \vdots & \ddots & \ddots & \ddots & & \Psi_2 \\ \dots & 0 & -\frac{\varepsilon}{2} & \varepsilon + V_{N-1} & -\frac{\varepsilon}{2} & \Psi_3 \\ \vdots & \dots & 0 & -\frac{\varepsilon}{2} & \varepsilon + V_N & \vdots \\ 0 & \dots & & & & \Psi_{N-1} \\ & & & & & \Psi_N \end{bmatrix} = E \begin{bmatrix} \Psi_1 \\ \Psi_2 \\ \Psi_3 \\ \vdots \\ \Psi_{N-1} \\ \Psi_N \end{bmatrix}$$

dvs $\vec{H}\vec{\Psi} = E\vec{\Psi}$, der Hamiltonmatrisen \vec{H} er tridiagonal, reell, og symmetrisk.

Har nå ikke-trivielle egenvektorer ($\vec{\Psi} \neq 0$) hvis

$$\det \{ \vec{H} - E \mathbb{I} \} = 0$$

Her er \mathbb{I} enhetsmatrisen, $\mathbb{I} = \begin{pmatrix} 1 & & & \\ & 1 & & \\ & & \ddots & \\ 0 & & & 1 \end{pmatrix}_{N \times N}$

Ligningssystemet gir

N distinkte energieigenverdier E_1, E_2, \dots, E_N og
 N tilhørende egenvektorer $\vec{\Psi}^{(1)}, \vec{\Psi}^{(2)}, \dots, \vec{\Psi}^{(N)}$

Effektiv funksjon i `scipy.linalg` er `eigh_tridiagonal`
 (from `scipy.linalg import eigh_tridiagonal`).

Gir egenv. $E_1 < E_2 < \dots < E_N$, og ortonormerte
 og reelle egenvektorer, dvs

$$\sum_{n=1}^N \Psi_n^{(j)} \Psi_n^{(k)} = \delta_{jk} \quad ; \quad \Psi_n^{(j)} = \Psi^{(j)}(x_n)$$

(35)

Egenvektorene danner samtidig et fullstendig sett:

$$\sum_{j=1}^N \Psi_n^{(j)} \Psi_l^{(j)} = \delta_{nl}$$

En starttilstand kan nå uttrykkes som en lineærkomb. av de N stasjonære løsningene:

$$\Psi_k(0) = \sum_{j=1}^N c^{(j)} \Psi_k^{(j)} ; \quad k=1, 2, \dots, N ; \quad c^{(j)} = \sum_{k=1}^N \Psi_k^{(j)} \Psi_k(0)$$

Og vi kan studere tidsutviklingen:

$$\Psi_k(t) = \sum_{j=1}^N c^{(j)} \Psi_k^{(j)} e^{-i E_j t / \hbar}$$

Og tidsutviklingen til ulike forventningsverdier:

$$\langle x \rangle(t) = \sum_{k=1}^N \Psi_k^*(t) x_k \Psi_k(t)$$

$$\langle p \rangle(t) = \sum_{k=1}^N \Psi_k^*(t) \hat{p} \Psi_k(t)$$

$$\hat{p} \Psi_k = \frac{\hbar}{i} \frac{\partial}{\partial x} \Psi_k \approx \frac{\hbar}{i} \frac{\Psi_{k+1} - \Psi_k}{\Delta x}$$

Hartree Atomic Units

Setter $\hbar = e = a_0 = m_e = 1$. Da er også $4\pi\epsilon_0 = 1$, siden $a_0 = 4\pi\epsilon_0 \hbar^2 / m_e e^2$.

Energienheten hartree: $\hbar^2 / m_e a_0^2 = 1$ hartree, som tilsvarer 27.2 eV.

Postulatene [PCH 2.1; DJG 3.3; IØ 2.2]

A. Operatorpostulat:

Målbare størrelser i klassisk mekanikk representeres i QM av lineære operatorer som konstrueres ved at impulskoordinater p_j erstattes av operatorer

$$\hat{p}_j = \frac{\hbar}{i} \frac{\partial}{\partial q_j}$$

q_j = posisjonskoordinat ; $\hat{q}_j = q_j$

Eks: \hat{K} og \hat{L} for partikkel med masse m i yz -planet

$$\text{Løsn: } K = \frac{1}{2m} (p_y^2 + p_z^2) \rightarrow \hat{K} = \frac{1}{2m} (\hat{p}_y^2 + \hat{p}_z^2)$$

$$\text{med } \hat{p}_y = \frac{\hbar}{i} \frac{\partial}{\partial y}, \quad \hat{p}_z = \frac{\hbar}{i} \frac{\partial}{\partial z}$$

$$\Rightarrow \hat{K} = -\frac{\hbar^2}{2m} \left(\frac{\partial^2}{\partial y^2} + \frac{\partial^2}{\partial z^2} \right)$$

$$\hat{L} = \vec{r} \times \vec{p}; \text{ her bare } L_x = y p_z - z p_y$$

$$\Rightarrow \hat{L}_x = \frac{\hbar}{i} \left(y \frac{\partial}{\partial z} - z \frac{\partial}{\partial y} \right)$$

B. Tilstandspostulat:

$\Psi(\vec{r}, t)$ beskriver partikkelen tilstand og er bestemt av

$$i\hbar \frac{\partial}{\partial t} \Psi = \hat{H} \Psi$$

$$\text{med } \hat{H} = \hat{K} + V = -\frac{\hbar^2}{2m} \nabla^2 + V$$

C. Forventningsverdipostulat:

Mange målinger av størrelse F på systemer som er preparert i samme tilstand Ψ vil gi en middelverdi

$$\langle F \rangle = \int \Psi^* \hat{F} \Psi d\tau$$

$$d\tau = dq_1 dq_2 \dots dq_N \quad \text{og} \quad \int |\Psi|^2 d\tau = 1.$$

$\langle F \rangle$ kalles forventningsverdien til F .

Eks: Partikkkel i boks i gitt stasjonær tilst. $\Psi_n(x, t)$

$$\langle x \rangle = \int_0^L \Psi_n^* x \Psi_n dx = \int_0^L x |\Psi_n|^2 dx = \frac{L}{2}$$

$$\langle p \rangle = \int_0^L \Psi_n^* i \frac{\hbar}{\tau} \frac{\partial}{\partial x} \Psi_n dx \sim \int_0^L \sin \frac{n\pi x}{L} \cos \frac{n\pi x}{L} dx = 0$$

D. Målepostulat:

Eneste mulige måleverdier av F er egenverdiene f_j

gitt ved $\hat{F} \Psi_j = f_j \Psi_j$

Her er Ψ_j egenfunksjoner til \hat{F} . Hvis F måles, med resultat f_j , harmer systemet i egentilstanden Ψ_j . Målingen påvirker systemet!

Eks: Anta partikkkel preparert i starttilstanden

$$\Psi(x, 0) = c_1 \Psi_1(x) + c_2 \Psi_2(x) \quad \text{ved } t=0$$

En måling av E vil da gi E_1 eller E_2 med sanns. hhv. $|c_1|^2$ og $|c_2|^2$. Hvis f eks. E_2 ble målt ved tid t_1 , beskrives partikkelen ved tider $t > t_1$ av tilstanden $\Psi_2(x, t) = \Psi_2(x) e^{-i E_2 t / \hbar}$